

# Poly- $\gamma$ Benzyl D-Glutamate 유기박막의 전자이동특성에 관한 연구

## A Study on the Electronic Properties of Poly- $\gamma$ Benzyl D-Glutamate Organic Thin Films

송진원, 이경섭, 이봉주, 구활본

(Jin-Won Song, Kyung-Sup Lee, Bong-Ju Lee, Hal-Bon Gu)

### Abstract

Abstract - We give pressure stimulation into organic thin films and then manufacture a device under the accumulation condition that the state surface pressure is 10[mN/m]. In processing of a device manufacture, we can see the process is good from the change of a surface pressure for organic thin films and transfer ratio of area per molecule.

The structure of manufactured device is Au/Poly- $\gamma$  Benzyl D-Glutamate/Al and Au/Poly- $\gamma$  Benzyl D-Glutamate/Au; the number of accumulated layers is 1, 3, 5 and 7. Also, we then examined of the MIM device by means of I-V. The I-V characteristic of the device is measured from 0 to +2[V]. We determined electrochemical measurement by using cyclic voltammetry with a three-electrode system. LB film accumulated by monolayer on an ITO. In the cyclicvoltammetry, An Ag/AgCl reference electrode, a platinum wire counter electrode and LB film-coated ITO working electrode measured in LiBF<sub>4</sub> solution, stable up to 0.9V vs. Ag/AgCl.

**Key Words :** MIM device, LB Film, Cyclicvoltammetry

### 1. 서 론

최근 산업기술은 전기전자 관련 기술과 정보처리 기술 등 모든 분야에서 급속하게 발달하고 있다. 특히 전기전자 산업은 반도체 소자를 중심으로 고집적화, 극미세화, 박막화를 목표로 연구개발이 진행되어지고 있다. 또한 분자 설계에 따라 무한의 구조를 얻을수 있는 유기재료를 이용한 초박막 기능성 소자의 연구가 활발히 이루어지고 있는데, 유기재료를 이용한 유기박막은 분자 레벨에서의 구조제어와 전자상태의 제어가 용이하다. 이러한 초박막 유기분자소자의 연구방법중 수면위에서의 Langmuir-Brodgett(LB)법은 방향성이 우수한 분자 막을 형성할 수 있는 기술로서 분자 레벨의 유기

초박막에 대한 연구가 활발하게 이루어지고 있다.<sup>[1]-[5]</sup>

본 연구에서는 수면위에서 Poly- $\gamma$  Benzyl D-Glutamate의 압력자격에 의한 표면압을 검출하여 분자의 제막조건을 결정하였고, Au/LB Film/Al, Au/LB Film/Au의 MIM소자를 제작하여 그 전기적 특성을 검출하여 전극에 의한 전자이동특성을 파악하였다. 또한 순환전류법에 의해 전기화학적 특성을 비교 연구하였다.

### 2. 실험

#### 2.1 실험

그림 1은 본 연구에 사용된 PBDG(Poly- $\gamma$ -Benzyl D-Glutamate)의 분자구조이다. PBDG는 분자의 질량이 높은 고분자 물질이며 고체재료이고 안정성이 우수하다고 알려져 있다. PBDG는 생체막 내의 지방질의 소수기와 Carboxyl(COOH)기를 갖는 친수기 물질로 구성된 양친매성 물질이다.

Chloroform을 용매로 사용하여  $0.1 \text{ mmol/l}$ 의 농도로 조성하였으며  $20^\circ\text{C}$ , pH 6.0의 순수한 물에 전개시켜 측정하였다.

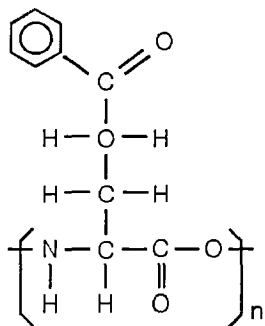


그림 1. PBDG의 분자구조

Fig. 1. Molecule structure of PBDG

## 2.2 측정

그림 2는 본 실험에서 사용한 MIM(Metal-Insulator-Metal)구조이다. 사용된 기판은 slide glass( $13 \times 38 \times 1 \text{ mm}$ )로서 하부전극으로 Cr과 Au를  $2.1 \times 10^{-5} \text{ torr}$ 에서 진공증착하였다. LB박막은 Y-type으로 1, 3, 5, 7층을 제막하였으며, 상부전극으로는  $2.3 \times 10^{-5} \text{ torr}$ 에서 Au와 Al을 각각 증착하였다.

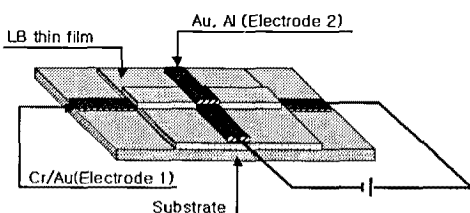


그림 2. MIM 구조

Fig. 2. Structure of MIM

제작된 MIM 구조의 디바이스는 알루미늄 실드박스에 장착하였고 Keithley 2400 미소전류계를 사용하여  $-0 \sim +2 \text{ [V]}$  범위에서  $0.2 \text{ [V]}$ 씩 승압시켜며 측정하였다.

Cyclicvoltammetry 측정은 3전극법으로 ITO 유리기판 위에 LB법으로 누적한 PBDG를 작용전극, 백금을 상대전극, Ag/AgCl을 기준전극으로 사용하였다. 전해질은 Acetonitrile/0.2M LiBF<sub>4</sub>를 사용하였

고, 5mV/s의 주사속도로  $0 \sim +1.4 \text{ V}$  vs. Ag/AgCl의 범위에서 측정하였다.

## 3. 결과 및 고찰

그림 3은 LB막 누적을 위한 제막 조건을 검출하기 위한 분자의 접유면적당 표면압의 변이 결과로서, PBDG를 균일하게 전개하여 안정화 시킨 후 barrier속도를  $30 \text{ mm/min}$ 으로 압축하였다.

분자의 접유면적을  $31 \text{ \AA}^2 \sim 9 \text{ \AA}^2$ 부근까지 압축하였으며,  $\pi$ -A곡선에서 고체막을 형성하는 범위는 약  $5 \sim 13 \text{ [mN/m]}$ 으로  $10 \text{ [mN/m]}$ 를 제막조건으로 결정하여 제막하였다.

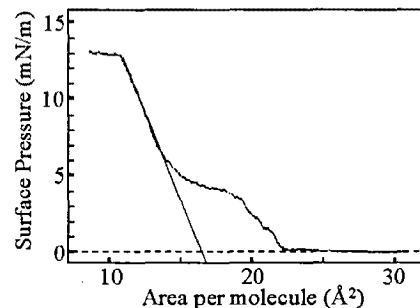


그림 3. 베리어 압축시 결과

Fig. 3. Result of barrier compress

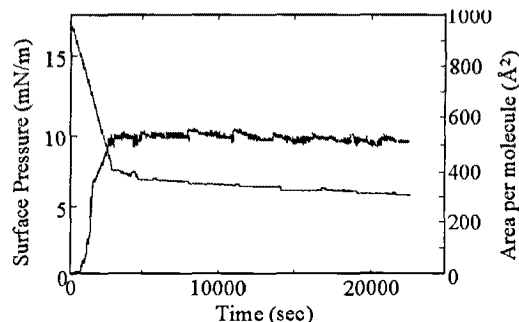
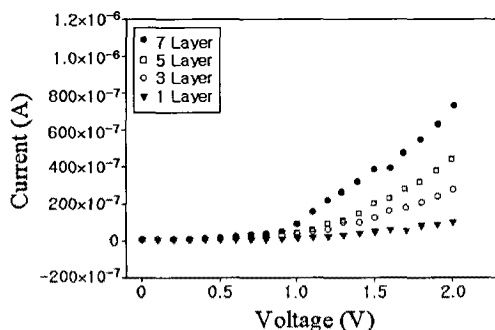


그림 4. 누적 전이비

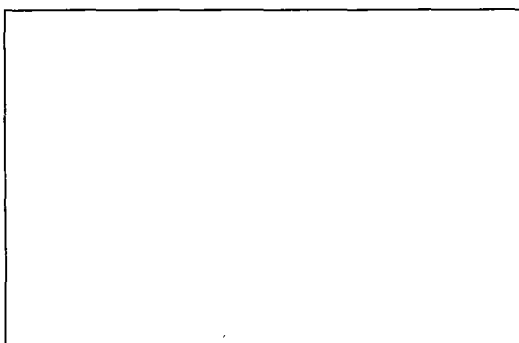
Fig. 4. Deposition of transfer ratio

그림 4는 Y-type으로 7층을 제막하였을 때 시간에 따른 제막상태와 분자당 접유면적 및 표면압의

변화를 관측한 것이다. 제막조건인 10[mN/m]까지 압축을 하였으며 표면압이 제막조건에 가까워 지면서 정밀하게 조절되어 가는 과정을 거쳐 dipper가 up, down stroke동작을 하면서 기판으로 분자들이 전이되는 것을 보여주고 있다. 수면 위의 분자당 접유면적이 일정한 비율로 선형적인 감소형태를 나타내는 것으로 보아 유기단분자막이 기판에 잘 전이되었음을 알 수 있었다.



(a) Au/Poly- $\gamma$  Benzyl D-Glutamate/AI



(a) Au/Poly- $\gamma$  Benzyl D-Glutamate/Au

그림 5. MIM소자의 I-V특성

Fig. 5. I-V properties od MIM device

그림5 (a)는 Au/Poly- $\gamma$  Benzyl D-Glutamate/AI, 그림 5 (b)는 Au/Poly- $\gamma$  Benzyl D-Glutamate/Au 구조의 MIM 디바이스에 전압을 인가하여 측정된 I-V특성으로, Poly- $\gamma$  Benzyl D-Glutamate를 Y-type으로 각각 1, 3, 5, 7층을 누적하였으며, 제작된 디바이스에 0~+2[V] 범위에서 0.1[V]씩 승압하면서 측정하였다.

인가전압에 따른 발생전류는 비교적 저전계영역

에서는 일정하게 나타내다가 각각 0.9, 0.8[V]에서 급격히 증가하는 특성을 나타내었으며, 상부전극으로 Au를 사용한 디바이스가 Al을 사용한 디바이스보다 발생전류가 높게 나타남을 확인할 수 있었다.

이는 Al의 일함수는 4.28eV이고 Au의 일함수는 5.10eV로서 전극을 Au를 사용하였을 경우 Poly- $\gamma$  Benzyl D-Glutamate로의 전자의 이동이 더 원활함을 알수 있었다.

Poly- $\gamma$  Benzyl D-Glutamate LB막의 전기 화학적 특성은 Cyclicvoltammetry을 통하여 알아보았다. 그림 6은 7층으로 누적한 Poly- $\gamma$  Benzyl D-Glutamate LB막의 cyclic voltammogram이다. 약 0.9V vs. Ag/AgCl부근에서 미소전류의 증가 현상을 보인후에 산화전류가 급격히 증가하는 전압은 1.0V vs. Ag/AgCl이고, 1.2V vs. Ag/AgCl부근에서 피크를 볼수 있었다. 전류가  $33 \times 10^{-6} [\text{A}/\text{cm}^2]$ 인 곡선은 0~+1.4V vs. Ag/AgCl potential영역에서 기판의 LB막이 안정성을 찾는 것을 보여주며 이후 전류의 피크는  $49 \sim 52 \times 10^{-6} [\text{A}/\text{cm}^2]$ 로 나타났다.

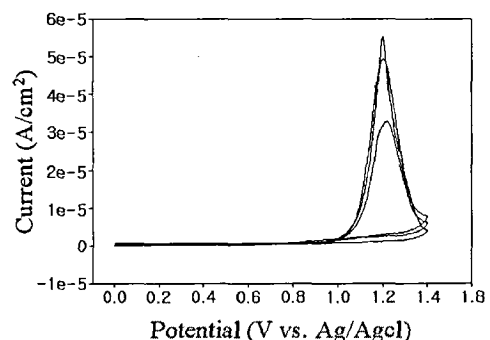


그림 6. Poly- $\gamma$  Benzyl D-Glutamate LB막의 cyclicvoltammogram

Fig. 6. Cyclicvoltammogram of Poly- $\gamma$  Benzyl D-Glutamate LB thin film

Cyclicvoltammogram을 통해 측정한 전기화학적 전압은 진공준위로 식 (1)에 의해 환산 가능하다.<sup>[6]</sup>

$$I_p = (E_{ox} + 4.4)eV \quad (1)$$

위 식에서  $I_p$ 는 이온화에너지,  $E_{ox}$ 는 Ag/AgCl을 기준전극으로 사용하여 측정한 산화전류가 흐르기 시작한 지점의 전압이다.

산화전류가 흐르기 시작하는 전압은 0.9V vs.

Ag/AgCl로, 이것을 진공준위 기준으로 환산하면 Poly- $\gamma$ -Benzyl D-Glutamate의 이온화에너지 5.3eV이다.

#### 4. 결 론

본 연구에서는 Poly- $\gamma$ -Benzyl D-Glutamate를 LB법에 의하여 각각 1, 3, 5, 7층으로 누적하여 전극에 따른 전기적 특성을 비교하였다.

LB막의 재막조건은 수면위의 분자당 접유면적과 표면압의 변이 결과로서 결정하였다.  $\pi$ -A곡선에서 고체막을 형성하는 범위는 5~13[mN/m]로서 10[mN/m]을 제막조건으로 결정하였고, Y-type으로 누적하였을 때 누적전이비로 보아 유기단분자막이 기판위에 비교적 잘 전이되었음을 알 수 있었다.

제작된 디바이스의 I-V특성은 각각 0~+2[V]의 범위에서 승압하면서 측정하였다. 전극을 Au를 사용하였을 경우 Poly- $\gamma$ -Benzyl D-Glutamate로의 전자의 이동이 더 원활함을 알 수 있었다.

또한 Poly- $\gamma$ -Benzyl D-Glutamate LB막의 Cyclicvoltammetry를 통한 전기 화학적 특성을 관찰한 결과 약 0.9V vs. Ag/AgCl부근에서 미소전류의 증가 현상을 보인후에 산화전류가 급격히 증가하는 전압은 1.0V vs. Ag/AgCl이고, 1.2V vs. Ag/AgCl 부근에서 파크를 볼수 있었으며, 이온화 에너지는 5.3eV임을 알 수 있었다.

#### 【참 고 문 헌】

- [1] V. K. Srivastava, In physics of Thin Films, Built-up Morecular Films and Rhei Application, 314-315, 1984
- [2] Abraham Ulman, An Introduction to ultrathin organic films, 339-402, Academic Preess, Nrw York, 1991
- [3] G.Roberts, "Langmuir-Blodgett Films", Pleum, New York, 1990
- [4] Keiji Ohara and Masaaki Nakajima, "Displacement current generated during compression of fatty acid and phospholipid monolayers at the water-air interface", Thin Solid Films, 226, pp. 164-172, 1993
- [5] Mitsumasa Iwamoto, Yutaka Majima, and Haruhiko Naruse, "Generation of Maxwell displacement current from spread monolayers containing azobenzene", J.Appl.Phys., Vol. 72, No. 4, 15 Augest 1992
- [6] J. L Bredas et al., "Chain-Length Dependence of Electronic and Electrochemical Properties of Conjugated System : polyacetylene, Polyth-iop hene and Polypyrrole", J. Am. Chem. Soc., Vol. 105 pp. 6555, 1983